

(HUANJING KEXUE)

# ENVIRONMENTAL SCIENCE

第36卷 第4期

Vol.36 No.4

2015

中国科学院生态环境研究中心 主办

科学出版社出版



## 採 施 静 享 (HUANJING KEXUE)

### ENVIRONMENTAL SCIENCE

第36卷 第4期 2015年4月15日

### 目 次

中美空气质量指数(AQI)对比研究及启示 2013 年 1 月北京市 PM <sub>2.5</sub> 区域来源解析 2013 年 1 月北京市一次空气重污染成因分析 上海大气总悬浮颗粒物中金属的可溶性特征 RD 25.5.5.5.5.5.5.5.5.5.5.5.5.5.5.5.5.5.5.	························ 高庆先,刘俊蓉,李文涛,高文康(1141)
2013 年 1 月北京市 PM, 5 区域来源解析	······ 李璇, 聂滕, 齐珺, 周震, 孙雪松(1148)
2013 年 1 月北京市一次空气重污染成因分析	程念亮,李云婷,张大伟, 聂滕,邱启鸿,徐文帅(1154)
上海大气总县浮颗粒物中全属的可溶性特征	営載 冯冲 瞿建国 张经(1164)
厦门春季 PM <sub>10</sub> 中 PAHs 成分谱特征及其与气象要素相关性分析·	
厦门住学 FM <sub>10</sub> 中 FARS 成为 届付证及共一	·····································
硫氧同位素示踪南京北郊大气 PM <sub>2.5</sub> 中硫酸盐来源	魏央, 郭照冰, 曷鑫, 祝胜另, 委又娟, 石磊, 陈妹(1182)
结合激光雷达分析 2014 年春季南京地区一次大气污染过程 …	···················· 包青,贺车亮,查男,程峰,李倩楠(1187)
春季华东高山背景区域 PM <sub>2.5</sub> 和 PM <sub>2.5~10</sub> 中水溶性无机离子特征	
	苏彬彬,张智胜,陶俊,许椐洋,纪贤鑫,刘心东,张若宇(1195)
落叶燃烧排放的颗粒物及有机碳、元素碳的研究四川省秸秆露天焚烧污染物排放清单及时空分布特征深圳市船舶排放清单与时空特征研究 超细颗粒通过建筑狭缝的传输特性 空调病房真菌气溶胶浓度及粒径分布特征 其一层是独立民位表的带上	······················ 杨伟宗,刘刚,李久海,徐慧,吴丹(1202)
四川省秸秆露天焚烧污染物排放清单及时空分布特征	······ 何敏, 王幸锐, 韩丽, 冯小琼, 毛雪(1208)
深圳市船舶推放清单与时容特征研密	杨静 尹佩玲 叶斯琪 王水胜 郑君瑜 区家敏(1217)
招细颗粒通过建筑漆缝的 <i>件</i> 绘性性	弘 左 陈 秋 方
短细秋色地及廷巩沃建时尺袖行压 安涠庄良古蓝层家院浓度B \$\$\$八大柱每	业化办 刃物化 十乙测 工士长 木匠(1224)
全厕内方具困气俗似似及及私住刀甲付值 ····································	*************************************
基丁刭乵梞疋囘位系的典工尚原云下二仍烝及效应	斩蜕刚, 依明牛, 土全杰, 木小儿, 重雷, 仕止未, 两树朋(1241)
黄河小浪底水库水沙调控对 DOC 输送的影响 ····································	·····································
	王苗苗,孙志高,卢晓宁,王伟,王传远(1256)
春季生物作用对山地岩溶池水地球化学特征的影响 于	正良, 杨平恒, 赵瑞一, 李林立, 张琳, 童小容, 罗刚(1263)
降雨期间岩溶城镇区地下河水重金属变化特征及来源解析	·· 任坤, 杨平恒, 江泽利, 王尊波, 师阳, 王凤康, 李晓春(1270)
业江和珠江广州河段水休的三点用偿风险评价	
降雨期间岩溶城镇区地下河水重金属变化特征及来源解析 ······ 北江和珠江广州河段水体的三卤甲烷风险评价 ········ 丰水期洪湖水质空间变异特征及驱动力分析 ······	17 応 7 下 7 下 7 下 7 下 7 下 7 下 7 下 7 下 7 下
十小别供例外灰空间发开付证及犯列刀刀切	······· 字比,工巧,字允干,工件禾,陈红共,天心,禾鹏(1263)
三峡库区典型干-支流相互作用过程中的营养盐交换:以梅溪河为	
	操满, 傅家楠, 周子然, 邓兵, 王雨春, 汪福顺(1293)
营养盐输入对太湖水体中磷形态转化及藻类生长的影响	王睿喆,王沛芳,任凌霄,王超,王颖雪(1301)
一小型藻华池塘浮游植物群落动态及其影响因子研究	················ 杨文,朱津永,张克鑫,万莉,陆开宏(1309)
昌黎生杰监控区夏季浮游植物群落年际变化特征分析	
梁晓林,河道曝气提升河流水质的 WASP 模型研究 ····································	杨阳,王玉良,张月明,赵志楠,韩晓庆,张鉴认,高伟明(1317)
河道曝气提升河流水质的 WASP 模型研究	朱文博 干洪秀 柳翠 张建 梁爽(1326)
。 每照	祖則思 郭昭冰 赵永宣 芭禽 稚苗 阵胜 工籍(1323)
中化学与化物学生活从那个经底型及对约的同步	防台目 化日亚 水海属 化十亚 购购小房 日時(1332)
电化子氢化物及生法处理百铢及小及对协的凹收 ···············	······ 陈尔丽, 派国十, 学海段, 们芯十, 欧阳小当, 关环(1338)
Fe-MCM-41 催化臭氧氧化间甲酚废水 ···················· 孙文静,	土业支, 卫星堂, 土森, 李旭丁, 李敏美, 孙承林, 安路阳(1343)
生物阳极及其反转为生物阴极降解氦霉素 $308 \text{ nm}$ 光作用下 $\alpha$ -Fe $\Omega_3$ 表面 $HNO_3$ 的光解 $308 \text{ nm}$ 光作用下 $\alpha$ -Fe $\Omega_3$ 表面 $HNO_3$ 的光解 $308 \text{ nm}$ 光作用下 $308 \text{ nm}$ 光度 $308 \text{ nm}$	··················· 孔德男,梁斌,云慧,土发杰,任南琪(1352)
308 nm 光作用下 α-Fe <sub>2</sub> O <sub>3</sub> 表面 HNO <sub>3</sub> 的光解 ···································	陆军,孙云东,谢晶晶,赵军,邹家骥,朱承驻(1359)
L-组氨酸-赤藓红复合膜修饰电极同时检测对苯二酚、邻苯二酚	······ 何家洪,徐强,丁武泉,李强(1365)
醌基功能型高分子生物载体 (PET-AQS)制备及催化生物反硝化物	恃性研究
·····································	晴,侯正浩,田秀蕾,牛春梅,郭延凯,廉静,郭建博(1374)
枯草芽孢杆菌对土臭素和 2-甲基异冰片的降解动力学特性	··········· 马念念,罗国芝,谭洪新,姚妙兰,王晓用(1379)
枯草芽孢杆菌对土臭素和 2-甲基异冰片的降解动力学特性 喹啉降解菌筛选及其对焦化废水强化处理 Fe <sup>3+</sup> 对同步硝化反硝化过程氮元素迁移转化及N <sub>2</sub> O释放的影响…	李静 李文茈(1385)
F. <sup>3</sup> +对同 <u>中</u>	
内循环半短程亚硝化工艺运行条件与微生物群落研究	
	至华,崔丙健,黄迪,曹世超,王云,刘上千,马斌,白志辉(1399)
利用处理含 4-氯苯酚模拟废水的剩余污泥培养普通小球藻	
进水渗滤液总氮和 BOD <sub>5</sub> /TN 对填埋场反应器反硝化和厌氧氨氧	
重庆金佛山土壤中 PAHs 含量的海拔梯度分布及来源解析	
湖南攸县典型煤矿和工厂区水稻田土壤镉污染特征及污染途径分	<b>}析</b> 张敏,王美娥,陈卫平,牛俊杰(1425)
沟渠化对三江平原湿地铁元素沉积过程的影响 ····································	··············· 苏文辉,于晓菲,王国平,栾金花,邹元春(1431)
施用磷酸盐和沸石对土壤镉形态转化的影响	王秀丽,梁成华,马子惠,韩月(1437)
不同条件下皂苷对污染塿土中 Cu、Pb 的淋洗修复	·· 邓红侠 杨亚莉 李珍 许岩 李荣华 孟昭福 杨亚提(1445)
陕北某化工企业周围污灌区土壤-作物系统重金属积累特征及评价	
方扣于机经移信人即对不同土壤海上物群落结构的影响	リー・・・・・・・・・・・・・・・・・・・・・・・・・・・・・・・・・・・・
有机无机缓释复合肥对不同土壤微生物群落结构的影响	和海中 北彪 民命命 忆主型 拟购 刀吃串 用十二/1400\
玉米对铅胁迫的响应及体内铅化学形态研究	" 任 , 、
硼锑交互作用对水稻吸收积累锑和硼的影响	
	呆琼莉,黄永春,王小玲,乔敏,胡莹,金姝兰,李季,王斐(1474)
丛枝菌根真菌对不同含盐量湿地土壤中芦苇生长的影响	· 郭江源,郭伟,毕娜,付瑞英,赵文静,赵仁鑫,王立新(1481)
滨海区芦苇和香蒲耐盐碱性及除氮磷效果对比研究	······ 陈友媛, 孙萍, 陈广琳, 王宁宁(1489)
不同温度下的土壤微生物呼吸及其与水溶性有机碳和转化酶的关	<b>任系 吴静,陈书涛,胡正华,张旭(1497)</b>
不同温度下的土壤微生物呼吸及其与水溶性有机碳和转化酶的关工业 VOCs 经济手段和工程技术减排对比性分析 ····································	王宇飞,刘昌新,程杰,郝郑平,王铮(1507)
《环境科学》征订启事(1216) 《环境科学》征稿简则(1248)	信息(1163.1194.1248.1424)
# 1 2011 1 # broth 1. ( 12.0 ) #1.1 2011 1 # broth bid 24 ( 12.10 )	1H101(00 )112 . ,12 . 0 ,1 . 2 . /

### 落叶燃烧排放的颗粒物及有机碳、元素碳的研究

杨伟宗,刘刚\*,李久海,徐慧,吴丹

(南京信息工程大学环境科学与工程学院,南京 210044)

关键词:落叶燃烧; PM; OC; EC; 排放因子

中图分类号: X513 文献标识码: A 文章编号: 0250-3301(2015)04-1202-06 DOI: 10.13227/j. hjkx. 2015. 04.009

# Emission of Particulate Matter, Organic and Elemental Carbon from Burning of Fallen Leaves

YANG Wei-zong, LIU Gang\*, LI Jiu-hai, XU Hui, WU Dan

(School of Environmental Science and Engineering, Nanjing University of Information Science & Technology, Nanjing 210044, China) **Abstract:** The two kinds of burning conditions, i. e. , flaming and smoldering, were selected to investigate the particulate matter (PM), organic carbon (OC), and elemental carbon (EC) from burning of ten kinds of fallen leaves. In the experiment, the emission smoke was sampled from the fallen leaves burning, in which the OC and EC loadings were measured by the Thermal Optical Carbon Analyzer. The results showed that the emission factors of PM, OC, and EC were 7.9-31.9, 0.9-9.7, and 3.6-13.9 g·kg<sup>-1</sup>, with the average values of 19.7, 5.2, and 6.8 g·kg<sup>-1</sup>, respectively, under the flaming condition. The emission factors of PM, OC, and EC were 61.3-128.9, 31.7-60.4, and 1.9-6.0 g·kg<sup>-1</sup>, with the average values of 91.0, 43.0, and 4.0 g·kg<sup>-1</sup>, respectively, under the smoldering condition. The OC/EC ratio ranged from 0.21 to 1.82 and from 8.16 to 16.84 under the flaming and smoldering condition, respectively. The OC/PM and EC/PM ratios ranged from 0.11 to 0.41 and from 0.18 to 0.56, respectively under the flaming condition. The OC/PM and EC/PM ratios, however, ranged from 0.43 to 0.53 and from 0.03 to 0.06, respectively, under the smoldering condition. The OC emission factor was well correlated with the PM emission factor in the two burning conditions. Those results indicated that rather different emission factors occurred in all kind of components in different burning emission. In addition, the OC emission factor was higher under the smoldering condition than that under the flaming condition. However, the EC emission factor was higher under flaming condition, compared with that under smoldering condition. Analysis of the PM, OC, and EC emission factor and their ratios was beneficial for building the emission list from the biomass burning and the sources apportionment.

Key words: burning of fallen leaves; PM; OC; EC; emission factor

生物质燃烧是大气气溶胶的重要来源.有机碳(OC)和元素碳(EC)是大气气溶胶的重要组成部分<sup>[1]</sup>.OC由成百上千种有机化合物组成<sup>[2]</sup>.EC具有较强的吸光性,是影响太阳辐射的主要物质<sup>[3]</sup>.这些组分在大气中不但会危害人体健康、引起灰霾现象,而且会改变整个大气层的辐射平衡,影响全球气候<sup>[4~7]</sup>.在全球范围内,每年均有约数十亿吨的生物质燃烧并向大气排放大量的颗粒物(PM)<sup>[1]</sup>.特别地,森林火灾在生物质燃烧颗粒物排放中的贡献高达42%<sup>[8]</sup>.森林火灾中OC占排放的总颗粒物的比例约50%,EC所占比例约3%<sup>[6,9]</sup>.受全球气

候变化的影响,未来森林火灾的频率可能会增加<sup>[7]</sup>,由此可见,森林火灾是大气中 OC、EC 的重要来源.

近年来,国内外学者通常以树枝、树叶等常见森林生物质为燃料进行模拟实验,估算其排放因子(EF). Hays 等[10]燃烧落叶测得 PM<sub>2.5</sub>排放因子范

收稿日期: 2014-09-24; 修订日期: 2014-11-01

基金项目: 国家自然科学基金项目(41073019);江苏省自然科学基

金项目(BK20130998)

作者简介: 杨伟宗(1988~),男,硕士研究生,主要研究方向为大气 污染控制与工程,E-mail;yangweizong@163.com

\* 通讯联系人,E-mail:liugang650104@sina.com

围约为 10.8~27.2 g·kg<sup>-1</sup>. 木材燃烧的 PM 排放因 子约在 10.0 g·kg<sup>-1</sup>以下<sup>[11~13]</sup>. Kannan 等<sup>[14]</sup>研究 发现不同类型生物质燃烧 PM 的排放因子不同,落 叶燃烧 PM 的排放量高于树枝和杂草. 对同种燃料 而言,不同的实验方法和实验装置也会造成 PM 排 放因子的差异[15,16]. 受燃料特性和燃烧条件等因素 的影响,OC 和 EC 所占 PM 的比例也具有较大的差 异[17],但 OC 和 PM 的排放因子之间具有较强的相 关性(r=0.97)<sup>[18]</sup>. Schmidl 等<sup>[19]</sup>测得干树叶燃烧 OC 和 EC 排放因子的平均值分别为 65.0 g·kg<sup>-1</sup>和 4.3 g·kg<sup>-1</sup>. 木材燃烧的 EC 排放因子相对稳定(约 在 2.0 g·kg<sup>-1</sup>以下), 而 OC 的排放因子变化较大 (约在 0.8 ~ 40.0 g·kg<sup>-1</sup>之间)<sup>[11,12,19,20]</sup>. Wang 等[21]的研究中指出 OC/EC 的比值可以作为区分不 同燃烧源的指标.对同一种燃烧材料而言,OC/EC 的比值可以很好地反映不同燃烧状态的特征,闷燃 占主导时,OC/EC 的比值远高于明燃状态<sup>[22,23]</sup>.

从近年的研究结果看,主要对不同类型森林生物质燃烧 PM、OC、EC 的排放因子开展了较多研究. 然而,就不同燃烧条件(明火燃烧和闷火燃烧)对 OC、EC 排放的影响关注较少. 本研究选取 10 种乔木的落叶为燃料,模拟森林火灾中明燃和闷燃两种模式,收集落叶燃烧的烟尘,计算 PM、OC、EC 的排放因子,并对其数值进行比较分析,初步探讨不同燃烧条件下各组分排放因子的差异,以期建立森林生物质燃烧源排放清单以及来源解析提供数据支撑.

#### 1 材料与方法

#### 1.1 落叶采集与制备

所选材料包括梧桐、杨树、构树、栾树、刺槐、麻栎、柳树、榧树、香樟、雪松共10种乔木的落叶,其中榧树、香樟、雪松3种树木为常绿乔木,其余7种为落叶乔木. 收集于江苏省南京市浦口区龙王山森林区域(118.70°E,32.19°N). 采集后的落叶拣除杂物,抖除泥土,并放置通风处保存.

#### 1.2 燃烧实验和烟尘采集

在燃烧实验前,分别测定落叶的含水率.实验模拟树叶的两种燃烧方式——明火燃烧和闷火燃烧.燃烧采集系统如图 1 所示,通过调节变压器控制明燃和闷燃两种形式.模拟明火燃烧时,分别取各类落叶 2~3 g,在电压 220 V,初始温度约 620℃左右的条件下,将落叶放入燃烧底盘进行燃烧.闷火燃烧时,分别取各类落叶 1 g 置于燃烧底盘,在电

压 175 V,初始温度为室温的条件下进行闷燃. 两种燃烧过程中保证烟气不溢出烟气收集罩,进行全部烟气的收集. 装置的水槽内放入冷水用来降低管道内烟气温度,使采样头处烟气温度保持在 40℃以下. 每次燃烧实验完毕后去除燃烧底盘上的灰烬,即可进行下一次实验. 每种树叶以两种燃烧方式分别进行 3 次燃烧实验.

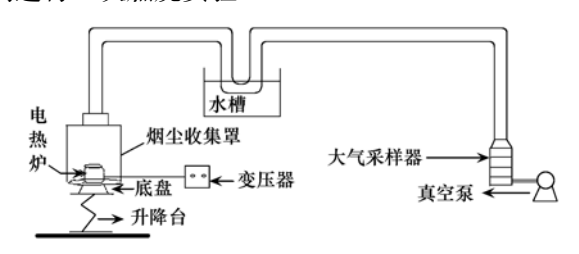


图 1 燃烧装置及采样系统示意

Fig. 1 Schematic representation of the firing setup and sampling system

燃烧开始前启动配备 4 L·s⁻¹真空泵的 PM 颗粒物采样器,进行全颗粒物等速采样.由于采样时所需抽力较大,所使用的 4 L·s⁻¹真空泵并非大气分级采样器的标配设备,因此未进行分级采样.采样持续到叶片燃烧完毕不再冒烟延迟 2 min 为止,以确保烟道内无烟气残留.采样所用玻璃纤维滤膜使用前在马弗炉中以 500℃ 锻烧 2 h 预处理去除有机碳,冷却后置于干燥器中在室温下平衡 24 h 后使用.每次采样前先称量后放入 PM 采样器中.完成采样的滤膜在室温下平衡 24 h 后再次称重.烟尘样品用铝箔(在 500℃灼烧 2 h)包裹,在冰箱中冷冻保存.此外,在未燃烧样品的条件下,要进行 3 次空白样的采集,以扣除本底.

#### 1.3 样品测定

实验使用高精度分析天平 $(0.0001\,\mathrm{g})$ 称量样品的烟尘含量.使用美国沙漠所 $(\mathrm{DRI})$ 开发的Model 2001 A Thermal Optical Carbon Analyzer 分析样品中 OC 和 EC 含量. OC/EC 分析仪器的升温程序分为 2 个阶段.第 1 阶段为纯氦气环境下按一定温度梯度 $(140^{\circ}C\rightarrow 280^{\circ}C\rightarrow 480^{\circ}C\rightarrow 580^{\circ}C)$ 升温加热,使滤膜上的有机物气化.释放的有机物经催化氧化炉转化成  $\mathrm{CO}_2$ ,  $\mathrm{CO}_2$  在还原炉内还原为  $\mathrm{CH}_4$ , 再由火焰离子化检测器 $(\mathrm{FID})$  定量检测.第 2 阶段为通人含 2%氧气的氦气,按一定温度 $(580^{\circ}C)$ 继续加热样品,使样品中的元素碳氧化成  $\mathrm{CO}_2$ .  $\mathrm{CO}_2$  转化为甲烷后,用 FID 检测.在测定过程中用 633 nm 的激光全程照射样品,监测升温过程中反射光强度的变化.以初始光强作为参照,确定 OC 和 EC 的分离点.有

机碳气化过程中会生成一部分焦化碳(POC). 无氧加热期间各个温度台阶对应的碳分别为 OC1、OC2、OC3、OC4;有氧加热阶段各个温度台阶对应的碳为 EC1、EC2、EC3,EC1 中包含了 POC. 其 OC定义为 OC1 + OC2 + OC3 + OC4 + POC; EC定义为 EC1 + EC2 + EC3 - POC. 根据采样滤膜总面积和截取部分的面积计算所耗颗粒物的质量,进而计算烟尘中 OC 和 EC 的含量.

#### 1.4 质量控制

样品分析前对仪器进行常规检漏. 每天使用仪器前,高温烘烤样品炉 10 min 去除炉内残留的杂质气体,用 He/CH<sub>4</sub>进行校准,确保初始和最终 -3 < FID <3,校准峰面积相对标准偏差小于5%. 每个样品进行2次平行样分析. 且对10%的样品要重复分析. 保证同一样品前后两次分析结果的相对误差小于10%. 否则,重新分析所代表数目的样品. 每批样品分析完毕后须再次校准仪器.

#### 2 结果与讨论

#### 2.1 PM 的排放因子

生物质燃烧排放的颗粒物,其排放因子在很大 程度上取决于燃料的燃烧状态和燃料类型[24],同时 也受实验方法、燃烧条件等因素的影响[15,16]. 落叶 在自然界中燃烧很难出现严格意义上的闷燃状态, 因此往往需通过实验室模拟来研究这一过程[24]. 本实验过程中的闷火燃烧状态较为极端,这使得和 其他学者研究所得的数据具有较大的差异. 燃烧材 料的含水状况是 PM 排放因子的重要影响因素. 湿 度过高的燃料在燃烧过程中需要消耗一定的热量蒸 发水分,更易形成闷火燃烧的条件,导致 PM 的排放 因子升高[25]. 在森林火灾中,落叶处于地表火层, 且含水率低于处于树冠层的树枝、绿叶等生物质. 本实验中的落叶含水率均值在 10.9% ~ 16.0% 之 间,在燃烧过程中受湿度的影响小. 因此,落叶燃烧 时 PM 的排放量和绿叶、树枝等生物质具有较大 差异.

表 1 所示,10 种乔木的落叶在明燃和闷燃两种状态下 PM 排放因子的范围分别为 7.9~31.9 g·kg<sup>-1</sup>和61.3~128.9 g·kg<sup>-1</sup>,平均值分别为 19.7 g·kg<sup>-1</sup>和91.0 g·kg<sup>-1</sup>. 根据研究表明,PM<sub>2.5</sub>在生物质燃烧产生的颗粒物中的比重在 90% 以上<sup>[5]</sup>,因此,文中 PM 排放因子的数据和其他学者所得 PM<sub>2.5</sub>排放因子的数据具有可比较性. 一些学者的研究并没有区分两种燃烧状态,例如 Hays 等<sup>[10]</sup>燃烧落叶

和绿叶的 PM,5排放因子范围分别为 10.8~27.2 g·kg<sup>-1</sup>和11.2~33.5 g·kg<sup>-1</sup>. Kannan 等<sup>[14]</sup>在实验 室燃烧落叶测得 PM 排放因子均值为 32.3 g·kg<sup>-1</sup>. 文献[10,14]中的 PM 排放因子与本研究中落叶明 燃状态的 PM 排放因子较为接近,但低于闷燃状态 下的 PM 排放因子. 不同类型生物质燃烧 PM 的排 放因子具有较大差异. 祝斌等[24]在实验室模拟秸 秆燃烧的明燃和闷燃两种状态,测得 PM25排放因子 范围分别为 7.2~39.0 g·kg<sup>-1</sup>和 67.6~104.6 g·kg<sup>-1</sup>. Ortiz 等<sup>[26]</sup>在户外燃烧谷物秸秆测定颗粒 物的排放因子也得出相似的结果,明燃排放 2.0~ 18.0 g·kg<sup>-1</sup>, 闷燃排放 56.0~104.0 g·kg<sup>-1</sup>. 这和 本研究测得的落叶燃烧 PM 的排放因子较为接近. 而韦思业等[11]和 Fine 等[13]测得木材燃烧 PM 的排 放因子(0.7~6.2 g·kg<sup>-1</sup>和 2.7~11.4 g·kg<sup>-1</sup>)则 低于落叶和秸秆. 通过和文献[10~14,24,26]对比 得出,落叶和秸秆燃烧的 PM 排放因子比较相近,高 于木材燃烧的 PM 排放因子. 造成该现象的原因主 要取决于燃烧物质的结构. 木材的木质素含量高. 结构密实,在燃烧时挥发析出的烟气速度较慢[27]. 落叶和秸秆的结构没有木材密实,在燃烧时烟气排 放量大. 这表明,同等干物质量的落叶和木材相比, 落叶燃烧产生的颗粒物污染更加严重.

从两种燃烧状态来看,落叶在闷燃状态下的 PM 排放因子明显高于明燃状态. 10 种乔木的落叶 闷燃状态下 PM 排放因子的平均值是明燃状态的 4.7 倍. 各类落叶燃烧烟尘排放的差异,不仅和燃烧 状态有关,与各类落叶的物理化学性具有密切的关 联. 柳树和雪松的落叶在两种燃烧状态下 PM 排放 因子的差异最为明显,分别相差9.9和8.0倍. 主 要原因在于这两种落叶都比较散碎,在明燃过程中 速率高,烟气排放量较小,闷燃时烟气析出则比较 多. 而同属落叶乔木类且叶片形状相似的杨树、梧 桐、构树的落叶的 PM 排放因子便较为接近. 实验 发现作为常绿乔木的香樟、雪松、榧树的落叶在闷 燃状态下的 PM 排放因子均比较高,且它们的 PM 排放因子均值在两种燃烧状态下都高于其他落叶乔 木的 PM 排放因子均值,但本研究数据相对较少,常 绿乔木的落叶燃烧的 PM 排放因子比落叶乔木的落 叶高这一结论的合理性还有待验证.

#### 2.2 OC 和 EC 的排放因子

OC 在明燃和闷燃状态下的排放因子范围分别为  $0.9 \sim 9.7 \text{ g·kg}^{-1}$ 和  $31.7 \sim 60.4 \text{ g·kg}^{-1}$ ,平均值分别为  $5.2 \text{ g·kg}^{-1}$ 和  $43.0 \text{ g·kg}^{-1}$ . EC 在明燃和闷

燃状态下的排放因子范围分别为  $3.6 \sim 13.9 \text{ g·kg}^{-1}$  和  $1.9 \sim 6.0 \text{ g·kg}^{-1}$ ,平均值分别为  $6.8 \text{ g·kg}^{-1}$  和  $4.0 \text{ g·kg}^{-1}$ . 本研究中 EC 排放因子的数值与 Schmidl 等[19]混合不同干树叶燃烧测得的数据较为接近( $4.3 \text{ g·kg}^{-1}$ ),而 OC 排放因子的数值则低于他们的结果( $65.0 \text{ g·kg}^{-1}$ ). 然而,Schmidl 等的实验并未区分落叶的两种燃烧状态,且选取的实验材料

并不类似. 相应地,落叶燃烧的 OC、EC 排放因子和木材燃烧的排放因子也不相同. Oros 等 $^{[20]}$ 研究的 5 种落叶乔木的 OC 和 EC 排放因子范围分别为 2. 1~25. 5 g·kg $^{-1}$ 和 0. 2~1. 9 g·kg $^{-1}$ ,韦思业等 $^{[11]}$ 的研究中 9 种木材 OC 和 EC 的变化范围分别为 0. 1~3. 8 g·kg $^{-1}$ 和 0. 1~0. 97 g·kg $^{-1}$ . 比较明显看出落叶燃烧 EC 的排放因子高于木材.

表 1 不同燃烧状态下 OC、EC 和 PM 的排放因子/g·kg<sup>-1</sup>

Table 1 PM, OC and EC emission factors for burning	g of fallen leaves under different status/g·kg <sup>-1</sup>
--	--

<b>范</b> 叶日 <del>加</del>	明火燃烧			闷火燃烧		
落叶品种 -	OC	EC	PM	OC	EC	PM
梧桐	4. 6	4. 2	16. 8	40. 9	4. 7	84. 6
杨树	2. 6	4.8	13.8	34. 9	3. 2	80. 4
构树	4. 5	7. 2	16. 8	31. 7	1.9	61.3
栾树	8. 9	10.3	31.9	44. 5	4. 9	94. 9
刺槐	8. 0	3.6	19. 7	32. 3	2. 2	64. 9
麻栎	2. 8	13.9	24. 6	50. 0	5. 1	108. 7
柳树	0.9	4.3	7. 9	34. 9	2. 5	78. 4
榧树	9. 7	5.3	27. 3	60. 4	6. 0	128. 9
香樟	6. 3	9.9	25. 2	52. 5	3. 1	102. 0
雪松	3.4	4. 2	13. 3	48. 2	5. 9	106. 0

各类落叶在明燃和闷燃两种状态下 OC 和 EC 的排放因子存在较大差异(图 2). 落叶在闷燃状态下总碳 TC(TC = OC + EC)的排放因子均值(47.0 g·kg<sup>-1</sup>)约为明燃(11.9 g·kg<sup>-1</sup>)的 3.9 倍. 闷燃状态下 OC 的排放因子均值(43.0 g·kg<sup>-1</sup>)约为明燃状态(5.2 g·kg<sup>-1</sup>)的 8.3 倍. 而 EC 的排放因子均值明燃(6.8 g·kg<sup>-1</sup>)比闷燃(4.0 g·kg<sup>-1</sup>)稍高. 因此,EC 的排放因子在两种燃烧状态下较为接近,OC 的排放因子在两种燃烧状态下较为接近,OC 的排放因子差异较大。图 2 显示,有 7 类落叶在明燃状态下 OC 的排放因子小于 EC 的排放因子,这与文献[11,19,20]中的研究结果相背. 造成该现象的原因主要是实验方法及实验材料的不同. EC 来自各种不完全燃烧过程<sup>[2]</sup>,落叶在明火条件下燃烧旺盛.而实验装置的烟气收集罩内的燃烧空间相对较

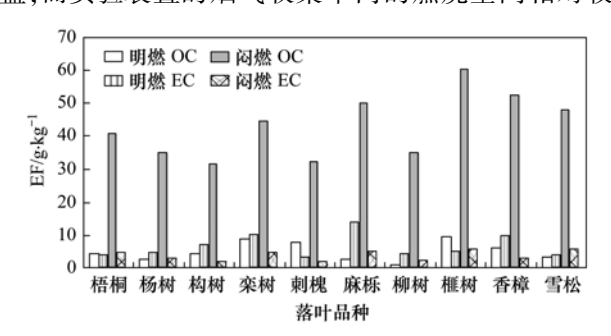


图 2 落叶在不同燃烧状态下 OC、EC 的排放因子对比

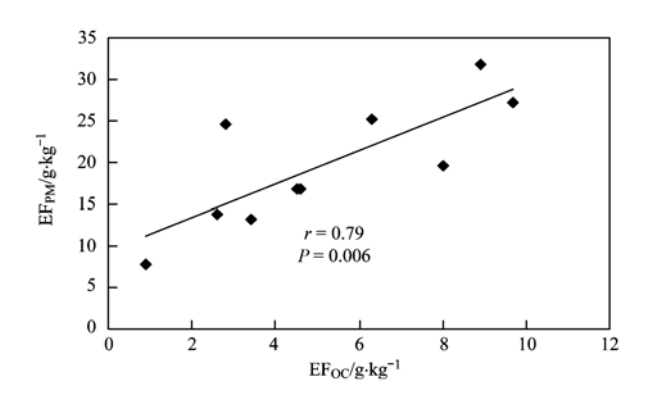
Fig. 2 Comparison of OC and EC emission factors for burning of fallen leaves under different status

小,供气量有限,燃料燃烧不充分,导致 EC 排放增 多<sup>[28]</sup>. 生物质在露天燃烧时氧气供应较为充分,OC 排放便相对较高<sup>[29,30]</sup>. 实验表明,不同温度造成的燃烧状态是落叶燃烧 OC、EC 排放的重要影响因素. 闷燃状态下的 PM 和 OC 的排放量均较大.

#### 2.3 OC、EC、PM 排放因子的相关性及比值分析

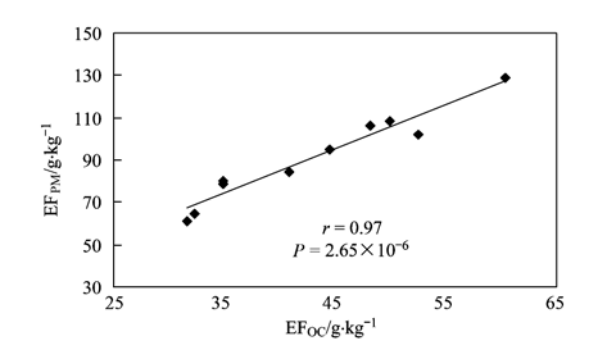
10 种乔木的落叶在两种燃烧状态下 OC 与 PM 的排放因子均呈现显著相关关系(图 3、图 4),这与 Roden 等[18]研究的薪柴燃烧结果一致(r=0.97). EC 和 PM 的排放因子在闷燃状态下具有较高相关性(r=0.86),但明燃状态下相关性较低(r=0.64). OC 和 EC 的排放因子在闷燃状态下也呈现较高的相关性(r=0.79),但明燃状态下不具相关性(r=0.06). 这也说明落叶燃烧 OC、EC 的排放在闷燃状态下比明燃状态稳定. 韦思业等[11]的研究表明室内薪柴燃烧 PM、OC、EC 排放因子之间呈显著的相关性关系. Chen 等[28]在燃煤实验中也得到一样的结论. 本研究中落叶在闷燃状态下 PM、EC、OC的排放因子两两之间均具有较高相关性,但考虑到落叶闷燃是在极端条件下进行,不能确定自然界中落叶燃烧 PM、EC、OC 的排放因子两两相关.

在生物质燃烧中,OC/EC 的比值可作为区分明燃和闷燃状态的指标,也可用作区别不同燃料类型的指标<sup>[21,22,31]</sup>. 10 种乔木的落叶在明燃状态下的OC/EC 比值变化范围为 0. 21 ~ 1. 82,闷燃状态下变



#### 图 3 落叶明燃状态下 OC 和 PM 排放因子之间的相关关系

Fig. 3 Correlation between OC and PM emission factors for burning of fallen leaves under flaming condition



#### 图 4 落叶闷燃状态下 OC 和 PM 排放因子之间的相关关系

Fig. 4 Correlation between OC and PM emission factors for burning of fallen leaves under smoldering condition

化范围为 8. 16~16. 84,均值分别为 0. 89 和 11. 83. 可以看出明燃状态下的 OC/EC 比值远小于闷燃状态(图 5). Schmidl 等<sup>[19]</sup>燃烧干树叶测得 OC/EC 比值为 15. 08,这与本研究中闷燃状态下的数值较为接近. Oros 等<sup>[20]</sup>测得落叶乔木的 OC/EC 范围为 9. 00~43. 00,高于本研究所得数据. 与单一源相比,Vicente 等<sup>[7]</sup>发现森林火灾时 OC/EC 的比值范围为 7. 00~69. 00. 通过和文献[19,20]对比,落叶燃烧的 OC/EC 比值要低于木材燃烧所得的 OC/EC 比值. 本实验落叶明燃状态下 OC/EC 的比值偏低,主要是受实验装置影响,EC 排放量过高造成的,这与 Zhang 等<sup>[22]</sup>的研究相符. 落叶在闷燃状态下 OC/EC 的变化范围为 8. 16~16. 84,这可以作为区别落叶明燃和闷燃状态的参考指标.

落叶燃烧排放的总碳(TC)在明燃和闷燃的 PM 排放中分别占 65.35% 和 53.67%,这和 Schmidl 等[19]测得的数据比较接近. OC、EC 存在于颗粒物中的比例在两种燃烧状态下具有较大的差异(图6). OC/PM、EC/PM 的比值在明燃状态下分别为 0.11~0.41 和 0.18~0.56,在闷燃状态下分别为

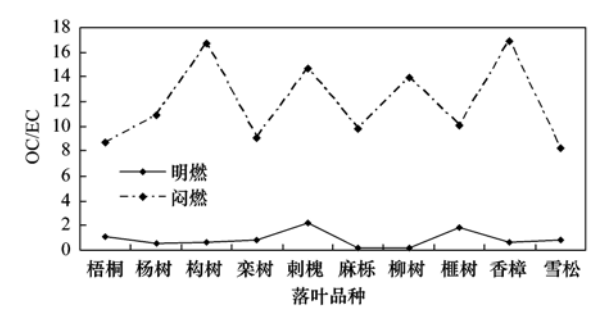


图 5 落叶不同燃烧状态下 OC/EC 数值对比

Fig. 5 Comparison of the OC/EC ratio for burning of fallen leaves under different status

0.43~0.53 和 0.03~0.06. 可看出 OC/PM 的比值 在闷燃状态下高于明燃状态,相反地 EC/PM 的比值 在闷燃状态下远低于明燃状态. 从同种燃烧状态来看,闷燃状态下 OC/PM 的值远高于 EC/PM 的比值,且数据变化波动较小. 而明燃状态下 OC/PM 和 EC/PM 之间的数据变化范围比较接近,但数据的变化波动较大. 其中柳树叶和麻栎叶在明燃状态下 OC/PM 和 EC/PM 的比值超出平均范围较多,是由于它们在燃烧过程中缺氧导致 EC 排放过多造成的. 由此也可得出,闷燃状态下 OC、EC 排放因子的变化幅度小,明燃状态下的受供氧、燃料性质等多方面因素影响导致燃烧不稳定,OC、EC 排放因子变化幅度相对较大. OC/PM 和 EC/PM 的比值关系也可作为区分落叶不同燃烧状态的参考指标.

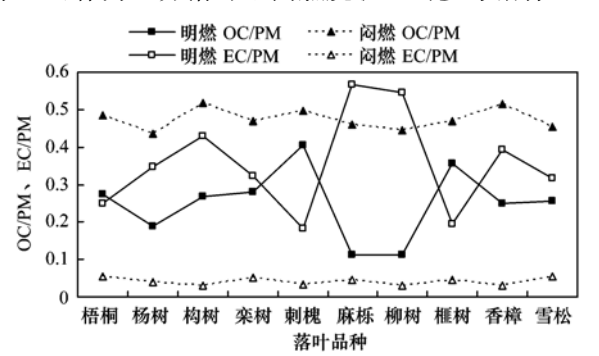


图 6 落叶不同燃烧状态下 OC/PM、EC/PM 数值对比 Fig. 6 Comparisons of the OC/PM and EC/PM ratios for burning of fallen leaves under different status

#### 3 结论

在不同燃烧条件下,落叶燃烧 PM、OC、EC 的排放因子具有显著差异,闷燃状态下 PM 和 OC 的排放因子明显高于明燃状态,而 EC 的排放因子在闷燃状态下低于明燃状态.落叶在两种燃烧状态下PM 和 OC 之间均呈现显著的相关关系.PM、OC、EC 之间的含量比值在两种燃烧状态下具有不同的

特征,OC/EC、OC/PM、EC/PM 的比值可以作为区分落叶明火燃烧和闷火燃烧的指标.

#### 参考文献:

- [ 1 ] Popovicheva O, Kistler M, Kireeva E, et al. Physicochemical characterization of smoke aerosol during large-scale wildfires: Extreme event of August 2010 in Moscow [ J ]. Atmospheric Environment, 2014, 96: 405-414.
- [2] 段凤魁, 贺克斌, 刘咸德, 等. 含碳气溶胶研究进展: 有机 碳和元素碳[J]. 环境工程学报, 2007, **1**(8): 1-8.
- [ 3 ] Jacobson M Z. Strong radiative heating due to the mixing state of black carbon in atmospheric aerosols [ J ]. Nature, 2001, 409 (6821): 695-697.
- [4] Offenberg J H, Baker J E. Aerosol size distributions of elemental and organic carbon in urban and over-water atmospheres [J]. Atmospheric Environment, 2000, 34(10): 1509-1517.
- [5] 邓丛蕊. 中国大气气溶胶中生物质燃烧的源追踪及灰霾的形成机制[D]. 上海:复旦大学,2011.5-7.
- [6] Chow J C, Watson J G, Lowenthal D H, et al. PM<sub>2.5</sub> source profiles for black and organic carbon emission inventories [J]. Atmospheric Environment, 2011, 45(31): 5407-5414.
- Vicente A, Alves C, Monteiro C, et al. Organic speciation of aerosols from wildfires in central Portugal during summer 2009
   J]. Atmospheric Environment, 2012, 57: 186-196.
- [8] Ito A, Penner J E. Historical emissions of carbonaceous aerosols from biomass and fossil fuel burning for the period 1870-2000 [J]. Global Biogeochemical Cycles, 2005, 19 (2), doi: 10.1029/2004GB002374
- [ 9 ] Chow J C. Measurement methods to determine compliance with ambient air quality standards for suspended particles[J]. Journal of the Air & Waste Management Association, 1995, 45 (5): 320-382.
- [10] Hays M D, Geron C D, Linna K J, et al. Speciation of gas-phase and fine particle emissions from burning of foliar fuels [J]. Environmental Science & Technology, 2002, 36 (11): 2281-2295.
- [11] 韦思业,苏玉红,沈国锋,等.农村室内薪柴燃烧的颗粒物和炭黑排放因子[J].生态毒理学报,2013,**8**(1):29-36.
- [12] Li X H, Duan L, Wang S X, et al. Emission characteristics of particulate matter from rural household biofuel combustion in China [J]. Energy & Fuels, 2007, 21(2): 845-851.
- [13] Fine P M, Cass G R, Simoneit B R T. Chemical characterization of fine particle emissions from fireplace combustion of woods grown in the northeastern United States [J]. Environmental Science & Technology, 2001, 35(13): 2665-2675.
- [14] Kannan G K, Gupta M, Chandra K J. Estimation of gaseous products and particulate matter emission from garden biomass combustion in a simulation fire test chamber [J]. Atmospheric Environment, 2005, 39(3): 563-573.
- [15] Gonçalves C, Alves C, Fernandes A P, et al. Organic compounds in PM<sub>2.5</sub> emitted from fireplace and woodstove combustion of typical Portuguese wood species [J]. Atmospheric Environment, 2011, 45(27): 4533-4545.
- [16] Alves C, Gonçalves C, Fernandes A P, et al. Fireplace and woodstove fine particle emissions from combustion of western

- Mediterranean wood types [J]. Atmospheric Research, 2011, 101(3): 692-700.
- [17] Vassura I, Venturini E, Marchetti S, et al. Markers and influence of open biomass burning on atmospheric particulate size and composition during a major bonfire event [J]. Atmospheric Environment, 2014, 82: 218-225.
- [18] Roden C A, Bond T C, Conway S, et al. Emission factors and real-time optical properties of particles emitted from traditional wood burning cookstoves [J]. Environmental Science & Technology, 2006, 40(21): 6750-6757.
- [19] Schmidl C, Bauer H, Dattler A, et al. Chemical characterisation of particle emissions from burning leaves [J]. Atmospheric Environment, 2008, 42(40): 9070-9079.
- [20] Oros D R, Simoneit B R T. Identification and emission factors of molecular tracers in organic aerosols from biomass burning Part 2. Deciduous trees [J]. Applied Geochemistry, 2001, 16 (13): 1545-1565.
- [21] Wang Z Z, Bi X H, Sheng G Y, et al. Characterization of organic compounds and molecular tracers from biomass burning smoke in South China I; broad-leaf trees and shrubs [J]. Atmospheric Environment, 2009, 43(19); 3096-3102.
- [22] Zhang Y Y, Obrist D, Zielinska B, et al. Particulate emissions from different types of biomass burning [ J ]. Atmospheric Environment, 2013, 72: 27-35.
- [23] Ferek R J, Reid J S, Hobbs P V, et al. Emission factors of hydrocarbons, halocarbons, trace gases and particles from biomass burning in Brazil[J]. Journal of Geophysical Research: Atmospheres (1984-2012), 1998, 103 (D24); 32107-32118.
- [24] 祝斌, 朱先磊, 张元勋, 等. 农作物秸秆燃烧 PM<sub>2.5</sub>排放因子的研究[J]. 环境科学研究, 2005, **18**(2): 29-33.
- [25] Simoneit B R T. Biomass burning—a review of organic tracers for smoke from incomplete combustion [J]. Applied Geochemistry, 2002, 17(3): 129-162.
- [26] Ortiz I, Ezcurra A, Lacaux J P, et al. Emission factor estimates of cereal waste burning in Spain[J]. Atmospheric Environment, 2000, 34(19); 3183-3193.
- [27] 唐喜斌, 黄成, 楼晟荣, 等. 长三角地区秸秆燃烧排放因子与颗粒物成分谱研究[J]. 环境科学, 2014, **35**(5): 1623-1632.
- [28] Chen Y J, Sheng G Y, Bi X H, et al. Emission factors for carbonaceous particles and polycyclic aromatic hydrocarbons from residential coal combustion in China[J]. Environmental Science & Technology, 2005, 39(6): 1861-1867.
- [29] Rau J A. Composition and size distribution of residential wood smoke particles[J]. Aerosol Science and Technology, 1989, 10 (1): 181-192.
- [30] Bond T C, Streets D G, Yarber K F, et al. A technology based global inventory of black and organic carbon emissions from combustion[J]. Journal of Geophysical Research: Atmospheres, 2004, 109 (D14): doi: 10.1029/2003JD003697.
- [31] Pósfai M, Simonics R, Li J, et al. Individual aerosol particles from biomass burning in southern Africa: 1. Compositions and size distributions of carbonaceous particles [J]. Journal of Geophysical Research: Atmospheres, 2003, 108 (D13): doi: 10.1029/2002JD002291.

## **HUANJING KEXUE**

Environmental Science (monthly)

Vol. 36 No. 4 Apr. 15, 2015

### **CONTENTS**

CONTENTS	
Comparative Analysis and Inspiration of Air Quality Index Between China and America	······ GAO Qing-xian ,LIU Jun-rong ,LI Wen-tao ,et al. (1141)
Regional Source Apportionment of PM <sub>2.5</sub> in Beijing in January 2013	
Formation Mechanism of a Serious Pollution Event in January 2013 in Beijing	
Soluble of Metals within TSP in Shanghai	
Analysis of Component Spectral Characteristics of PM <sub>10</sub> -Bound PAHs and the Influence of Weather Conditions During Spring in Xi	
Tracing Sources of Sulfate Aerosol in Nanjing Northern Suburb Using Sulfur and Oxygen Isotopes	
Analysis of an Air Pollution Process Using LiDAR in Nanjing, Spring of 2014	
Characteristics of Water-soluble Inorganic Ions in PM <sub>2,5</sub> and PM <sub>2,5-10</sub> in Mountain Background Region of East China in Spring ··	
Emission of Particulate Matter, Organic and Elemental Carbon from Burning of Fallen Leaves	
Emission Inventory of Crop Residues Field Burning and Its Temporal and Spatial Distribution in Sichuan Province	
Marine Emission Inventory and Its Temporal and Spatial Characteristics in the City of Shenzhen	
Characteristic of Ultrafine Particles Transferring Through Building Envelopes	
Airborne Fungal Aerosol Concentration and Distribution Characteristics in Air-Conditioned Wards	
Effect of Below-cloud Secondary Evaporation in Precipitations over the Loess Plateau Based on the Stable Isotopes of Hydrogen and	1 Oxygen
Effect of the Runoff-sediment Control of the Xiaolangdi Reservoir on DOC Transport	JIIV Alao-gang, ZHANG Ming-jun, WANG Sheng-jie, et al. (1241)
Effects of Long-term Implementation of the Flow-Sediment Regulation Scheme on Grain and Clay Compositions of Inshore Sediment	
Effects of Enigeterial implementation of the 1 tow-Sculment regulation Scheme on Stant and Cray Compositions of instruce Secument	WANG Miso-miso SUN Zhi-gao III Viso-ning et al. (1256)
Influences of Biological Processes on Geochemical Characteristics: An Example of a Mountain Karst Pool in Spring Season	
Variation Characteristics and Sources of Heavy Metals in an Urban Karst Groundwater System during Rainfall Event	0 0, 0 0, 7
Risk Assessment of Trihalomethane Production Using the Beijiang River and the Pearl River, Guangzhou as Drinking Water Source	
Spatial Variability Characteristics of Water Quality and Its Driving Forces in Honghu Lake During High Water-level Period	
Nutrient Exchange Between Meixi River and Yangtze River Due to the Typical Interaction Process of the Three Gorges Reservoir ar	
Truthelic Exchange Detreet inch fare and fangue fare but to the Typical including froces of the fine conges reservoir at	
Effects of Nutrient Inputs on Changes of Phosphorus Forms and Phytoplankton Growth in Taihu Lake	
Community Dynamics of Phytoplankton and Related Affecting Factors in a Eutrophicated Small Pond	
Yearly Changes of Phytoplankton Community in the Ecology-monitoring Area of Changli, Hebei in Summer	
Improvement of River Water Quality by Aeration; WASP Model Study	
Radiolytic Decomposition of Ciprofloxacin Hydrochloride in Aqueous Solution Using γ Irradiation	
Removal of Antimony in Wastewater by Electrochemical Hydride Generation and the Recovery of Antimony	
Degradation of m-Cresol with Fe-MCM-41 in Catalytic Ozonation	
Bioanode and Inversion of Bioanode to Biocathode for the Degradation of Antibiotic Chloramphenicol	
Photolysis of Gaseous HNO <sub>3</sub> on the α-Fe <sub>2</sub> O <sub>3</sub> Films Under 308 nm UV Light	
Simultaneous Determination of Hydroguinone and Catechol Based on L-Histidine-Erythrosine Composite Film Modified Glassy Carbol	on Electrode ·····
Salara	
Preparation and Characterization of Quinone Functional Polymer Biocarrier (PET-AQS) for Biodenitrification Catalysis	
Kinetic Characteristics of Degradation of Geosmin and 2-Methylisoborneol by Bacillus subtilis	
Screening of a Highly Efficient Quinoline-degrading Strain and Its Enhanced Biotreatment on Coking Waste Water	
Effect of Ferric Iron on Nitrogen Immigration and Transformation and Nitrous Oxide Emission During Simultaneous Nitrification De	nitrification Process ·····
	LI Hao, YAN Yu-jie, XIE Hui-jun, et al. (1392)
Running Condition and Bacterial Community Associated with the Partial Nitritation System	ZHAO Zhi-rui, JIAO Hai-hua, CUI Bing-jian, et al. (1399)
Using Excess Activated Sludge Treated 4-Chlorophenol Contained Waste Water to Cultivate Chlorella vulgaris	WANG Lu, CHEN Xiu-rong, YAN Long, et al. (1406)
Effects of Total Nitrogen and BOD <sub>5</sub> /TN on Anaerobic Ammonium Oxidation-Denitrification Synergistic Interaction of Mature Landfi	ill Leachate in Aged Refuse Bioreactor
	············ YANG Ying-ying, CHEN Yi, LI Ming-jie, et al. (1412)
Altitudinal Gradient Distribution and Source Analysis of PAHs Content of Topsoil in Jinfo Mountain, Chongqing	SHI Yang, SUN Yu-chuan, LIANG Zuo-bing, et al. (1417)
Characteristics and Inputs of Cd Contamination in Paddy Soils in Typical Mining and Industrial Areas in Youxian County, Hunan I	Province
Effects of Canalization on the Iron Deposition in Sanjiang Plain	
Effects of Phosphate and Zeolite on the Transformation of Cd Speciation in Soil	
Leaching Remediation of Copper and Lead Contaminated Lou Soil by Saponin Under Different Conditions	
Accumulation Characteristics and Evaluation of Heavy Metals in Soil-Crop System Affected by Wastewater Irrigation Around a Cher	mical Factory in Shenmu County
Effects of Organic and Inorganic Slow-Release Compound Fertilizer on Different Soils Microbial Community Structure	
	CHENG Hai-kuan ZHANG Rigo IING Xin-vin et al. (1468)
Effect of Boron-antimony Interaction on the Uptake and Accumulation of Antimony and Boron by Rice Seedling	XIANG Meng, HUANG Yi-zong, CAI Li-qun, et al. (1474)
Effect of Boron-antimony Interaction on the Uptake and Accumulation of Antimony and Boron by Rice Seedling  Effects of Arbuscular Mycorrhizal Fungi on the Growth of Reeds in Wetland Soils with Different Salt Content	XIANG Meng, HUANG Yi-zong, CAI Li-qun, et al. (1474) GUO Jiang-yuan, GUO Wei, BI Na, et al. (1481)
Effect of Boron-antimony Interaction on the Uptake and Accumulation of Antimony and Boron by Rice Seedling  Effects of Arbuscular Mycorrhizal Fungi on the Growth of Reeds in Wetland Soils with Different Salt Content  A Contrastive Study on Salt-alkaline Resistance and Removal Efficiency of Nitrogen and Phosphorus by Phragmites australis and Ty	XIANG Meng, HUANG Yi-zong, CAI Li-qun, et al. (1474) GUO Jiang-yuan, GUO Wei, BI Na, et al. (1481) ypha angustifolia in Coastal Estuary Area
Response of Maize to Lead Stress and Relevant Chemical Forms of Lead  Effect of Boron-antimony Interaction on the Uptake and Accumulation of Antimony and Boron by Rice Seedling  Effects of Arbuscular Mycorrhizal Fungi on the Growth of Reeds in Wetland Soils with Different Salt Content  A Contrastive Study on Salt-alkaline Resistance and Removal Efficiency of Nitrogen and Phosphorus by Phragmites australis and Ty	XIANG Meng, HUANG Yi-zong, CAI Li-qun, et al. (1474) GUO Jiang-yuan, GUO Wei, BI Na, et al. (1481) ypha angustifolia in Coastal Estuary Area
Effect of Boron-antimony Interaction on the Uptake and Accumulation of Antimony and Boron by Rice Seedling  Effects of Arbuscular Mycorrhizal Fungi on the Growth of Reeds in Wetland Soils with Different Salt Content  A Contrastive Study on Salt-alkaline Resistance and Removal Efficiency of Nitrogen and Phosphorus by Phragmites australis and Ty	XIANG Meng, HUANG Yi-zong, CAI Li-qun, et al. (1474)
Effect of Boron-antimony Interaction on the Uptake and Accumulation of Antimony and Boron by Rice Seedling  Effects of Arbuscular Mycorrhizal Fungi on the Growth of Reeds in Wetland Soils with Different Salt Content  A Contrastive Study on Salt-alkaline Resistance and Removal Efficiency of Nitrogen and Phosphorus by Phragmites australis and Ty	XIANG Meng, HUANG Yi-zong, CAI Li-qun, et al. (1474) GUO Jiang-yuan, GUO Wei, BI Na, et al. (1481) ypha angustifolia in Coastal Estuary Area CHEN You-yuan, SUN Ping, CHEN Guang-lin, et al. (1489) Invertase WU Jing, CHEN Shu-tao, HU Zheng-hua, et al. (1497)

## 《环境科学》第6届编辑委员会

主 编:欧阳自远

副主编:赵景柱 郝吉明 田 刚

编 委: (按姓氏笔画排序)

万国江 王华聪 王凯军 王绪绪 田 刚 田 静 史培军

朱永官 刘志培 汤鸿霄 陈吉宁 孟 伟 周宗灿 林金明

欧阳自远 赵景柱 姜 林 郝郑平 郝吉明 聂永丰 黄 霞

黄耀 鲍强潘纲潘涛魏复盛

## 环维种草

### (HUANJING KEXUE)

(月刊 1976年8月创刊)

2015年4月15日 第36卷 第4期

#### ENVIRONMENTAL SCIENCE

(Monthly Started in 1976)

Vol. 36 No. 4 Apr. 15, 2015

		1 : 74 11			
主	管	中国科学院	Superintended	by	Chinese Academy of Sciences
主	办	中国科学院生态环境研究中心	Sponsored	by	Research Center for Eco-Environmental Sciences, Chinese
协	办	(以参加先后为序)			Academy of Sciences
		北京市环境保护科学研究院	Co-Sponsored	by	Beijing Municipal Research Institute of Environmental
		清华大学环境学院			Protection
主	编	欧阳自远			School of Environment, Tsinghua University
编	辑	《环境科学》编辑委员会	Editor-in -Chief	•	OUYANG Zi-yuan
>m	7-4	北京市 2871 信箱(海淀区双清路	Edited	by	The Editorial Board of Environmental Science (HUANJING
		18号,邮政编码:100085)			KEXUE)
		电话:010-62941102,010-62849343			P. O. Box 2871, Beijing 100085, China
		传真:010-62849343			Tel:010-62941102,010-62849343; Fax:010-62849343
		E-mail; hjkx@ reees. ac. cn			E-mail; hjkx@ rees. ac. en
		http://www.hjkx.ac.cn			http://www.hjkx.ac.cn
出	版	4 学业版社	Published	by	Science Press
-	742	北京东黄城根北街 16 号			16 Donghuangchenggen North Street,
		邮政编码:100717			Beijing 100717, China
印刷装	も订	北京北林印刷厂	Printed	by	Beijing Bei Lin Printing House
发	行	斜华出版社	Distributed	by	Science Press
		电话:010-64017032			Tel:010-64017032
		E-mail:journal@mail.sciencep.com			E-mail; journal@ mail. sciencep. com
订 购	处	全国各地邮电局	Domestic		All Local Post Offices in China
国外总统	发行	中国国际图书贸易总公司	Foreign		China International Book Trading Corporation (Guoji
		(北京 399 信箱)			Shudian), P. O. Box 399, Beijing 100044, China

中国标准刊号: ISSN 0250-3301 CN 11-1895/X

国内邮发代号: 2-821

国内定价:120.00元

国外发行代号: M 205

国内外公开发行